

Изучение опасных природных явлений методами машинного обучения.

Д.А. Рязанов, С.В. Стрижак

Институт системного программирования РАН

16 октября 2020 года.

Содержание презентации: I

1 Оценка эффективности перемешивания

- Мертвая вода
- Определяющие параметры

2 Обледенение

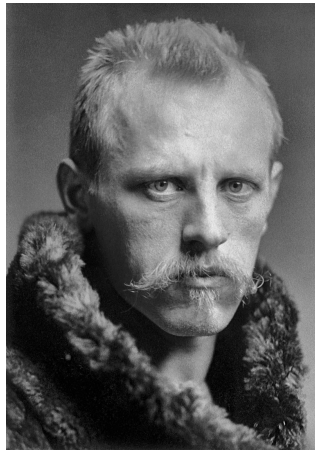
- Определяющие параметры

3 Используемые инструменты

- Сверточные нейронные сети
- Генеративно-состязательные сети
- Рекуррентные нейронные сети

4 Выполнение задач проекта

Мертвая вода



Фритьоф Ведель-Ярлсберг Нансен
(1861 — 1930)



Исследовательская шхуна «Фрам»

Опасность явления.

Эффект «Мертвой воды».



Определяющие параметры

$$\nabla \cdot \vec{U} = 0, \quad (1)$$

$$\frac{\partial \vec{U}}{\partial t} + \nabla \cdot (\vec{U} \otimes \vec{U}) - \nabla \cdot \nu (\nabla \vec{U} + (\nabla \vec{U})^T) = -\frac{1}{\rho_m} \nabla \hat{p} + \vec{F}, \quad (2)$$

$$\frac{\partial s}{\partial t} + \nabla \cdot \vec{U} \cdot s - \nabla \cdot \frac{\nu}{Sc} (\nabla s) = 0. \quad (3)$$

$$Ri_b = \frac{g \rho_0 d}{\rho_r U_0^2}, \quad R = \frac{d}{\delta}, \quad Re = \frac{U_0 d}{v}, \quad Pr = \frac{v}{\kappa}$$

$$\rho_0 = \frac{\Delta \rho}{2}, \quad U_0 = \frac{\Delta U}{2} \quad (4)$$

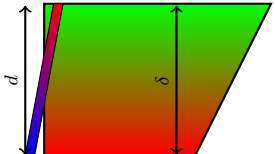
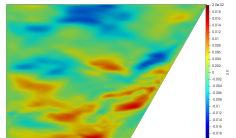
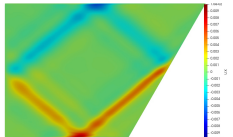
приведённое давление: $\hat{p} = p - p_0$;

восстанавливающая сила: $\vec{F} = \beta \vec{g} \hat{s}$, где $\hat{s} = s(x, y, z, t) - s(x, y, z, 0)$.

$$\mathcal{M} = \frac{Ri_b}{Re Pr} \left[\frac{1}{V} \int_V - \left(\frac{d\rho_*}{dz} \right)^{-1} |\nabla \rho|^2 dV \right] - D_p \quad D_p = \frac{2 Ri_b}{Re Pr L_z}$$

$$\begin{aligned} \chi_1(z, t_0) &\equiv \frac{\bar{\epsilon}(z, t_0)}{\kappa \int N^2(z, t_0) dz}, & \chi_2(z, t_0) &\equiv \frac{N^2(z, t_0)}{\int N^2(z, t_0) dz} \\ \mathcal{Y}(t_0) &\equiv \mathcal{E}(t_0). \end{aligned}$$

$$\epsilon(x, t) = 2\nu s_{ij} s_{ij}, \quad \bar{\epsilon}(z, t) = \frac{1}{L_x L_y} \int \epsilon(x, t) dx dy, \quad \mathcal{E}(t) = \frac{\mathcal{M}(t)}{\mathcal{M}(t) + \langle \bar{\epsilon}(z, t) \rangle}$$



Обледенение



2

12% всех катастроф связанных с погодными явлениями происходят по причине крупных (>60мкм) переохлажденных капель

3

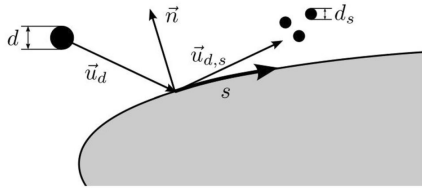
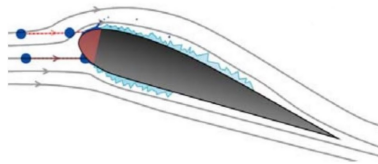
¹S. Fikke et al. COST 727: Atmospheric Icing on Structures Measurements and data collection on icing: State of the Art. 2006. Publication of MeteoSwiss, 75, 110 pp.

²Aircraft Ice Accretion Prediction Based on Neural Networks E. Ogretim, W. Huebsch, and A. Shinn Journal of Aircraft 2006 43:1, 233-240

³Baars WJ, Stearman RO, Tinney CE (2010) A review on the impact of icing on aircraft stability and control. J Aeroelast Struct Dyn 2:35–52

Определяющие параметры

- Скорость
- Температура
- Водность
- Среднеобъемный диаметр
- Время



Сверточные нейронные сети

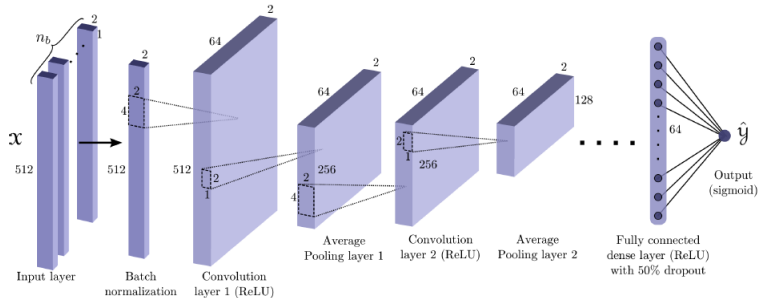


Рис.: Архитектура сверточной нейронной сети, которая оценивает эффективность перемешивания

$$\sum_{n_b} (\mathcal{Y} - \hat{\mathcal{Y}})^2 / n_b$$

4

⁴Deep learning of mixing by two ‘atoms’ of stratified turbulence. Hesam Salehipour, W. R. Peltier. arXiv

Super-resolution reconstruction with machine learning

3

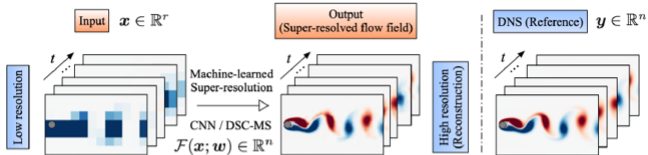


FIGURE 1. An overview of machine-learned super-resolution analysis for cylinder flow.

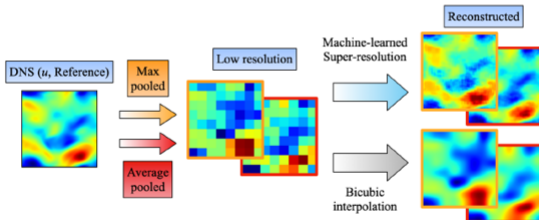


FIGURE 2. Max/average pooling and super-resolution reconstruction of the turbulent velocity field.

5

⁵Super-resolution reconstruction of turbulent flows with machine learning Kai Fukami, Koji Fukagata and Kunihiko Taira, JFM, 2019

Рекуррентные нейронные сети

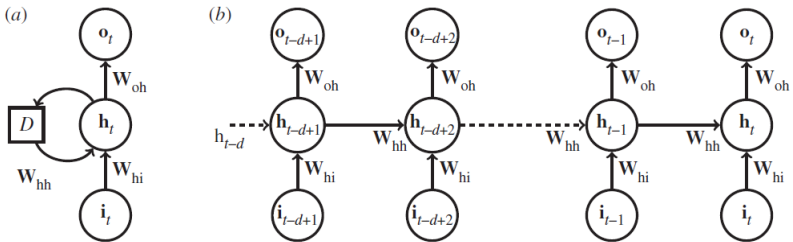


Рис.: Рекуррентная нейронная сеть

6

⁶Data-driven forecasting of high-dimensional chaotic systems with long short-term memory networks. Pantelis R. Vlachas, Wonmin Byeon, Zhong Y.Wan, Themistoklis P. Sapsis and Petros Koumoutsakos

Ансамбли

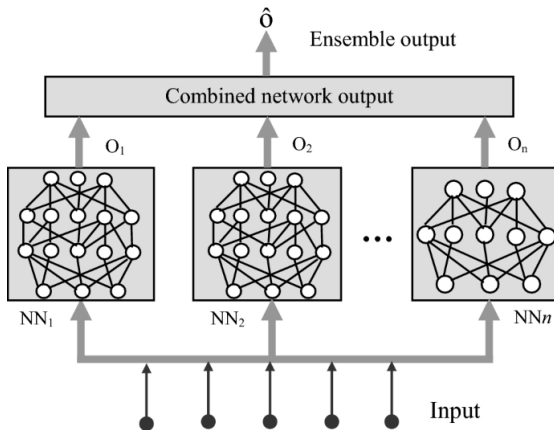
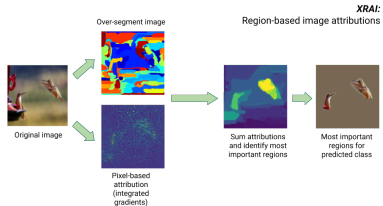


Рис.: Ансамбль нейронных сетей

Выполнение задач проекта

- Объяснимость –

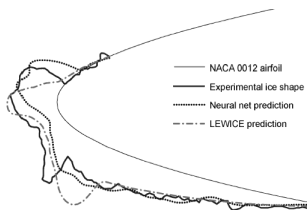


- Надежность –

Сравнение с результатами численных расчетов
(Сравнение с результатами экспериментов)

NEK

a fast and scalable high-order solver for computational fluid dynamics



Open∇FOAM

Внутренние волны.

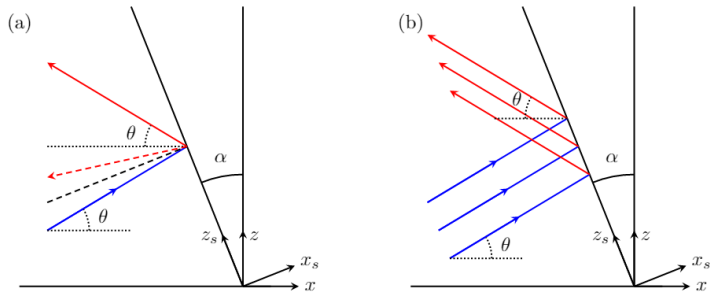


Рис.: Отражение волновых пакетов от наклонной стенки а) Одного пакета в сравнении с «классическим» отражением б) Отражение нескольких параллельных пакетов

Внутренние волны

Дисперсионное соотношение:

$$\frac{\omega}{N} = \pm \sin \theta$$

θ – угол распространения волн.

ω – частота вынужденных колебаний.

N – частота плавучести:

$$N(z) = \sqrt{-\frac{g}{\rho(z_0)} \cdot \frac{d\rho(z)}{dz}}$$

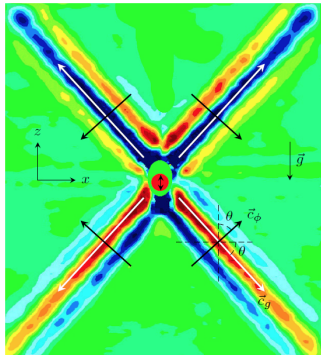


Рис.: Вертикальные колебания цилиндра в стратифицированной жидкости

Фокусировка

Физические параметры:

$$\begin{aligned}\rho_m &= 1 \quad [g/cm^3]; \\ s_0 &= -\frac{1.02 \cdot z}{10^3} + 3.03 \cdot 10^{-2}; \\ \rho &= \rho_m(1+s) \quad [g/cm^3]; \\ \nu &= 10^{-2} \quad [cm^2/s]; \\ Sc &= 10^2; \\ g &= 981 \quad [cm/s^2];\end{aligned}$$

Границные условия на левой
стенке:

$$U_x = A \cdot \cos\left(\frac{\pi \cdot z}{H}\right) \cdot \omega \cdot \sin(\omega t),$$

$$U_z = 0, \text{ где } A = 0.1 \text{ [cm]},$$

$$\omega_1 = 0.6 \text{ [rad/s]}, 0 < z < H.$$

На остальных границах
условие: $\vec{U} = 0$.

Для давления: $\nabla p = 0$.

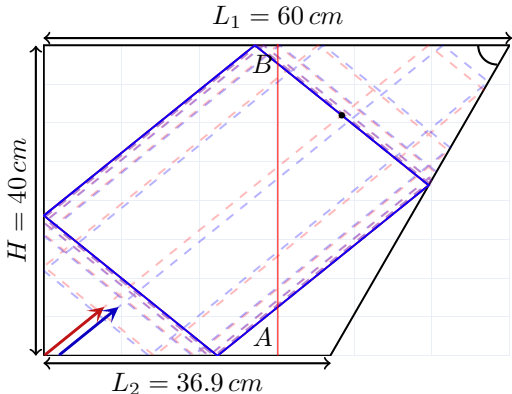


Рис.: Схематичное изображение резервуара

Эксперимент

8 Рис.: Экспериментальное обнаружение атTRACTора внутренних волн

⁸Brouzet, C., Sibgatullin, I., Scolan, H., Ermanyuk, E., Dauxois, T. (2016). Internal wave attractors examined using laboratory experiments and 3D numerical simulations. Journal of Fluid Mechanics, 793, 109-131. doi:10.1017/jfm.2016.119